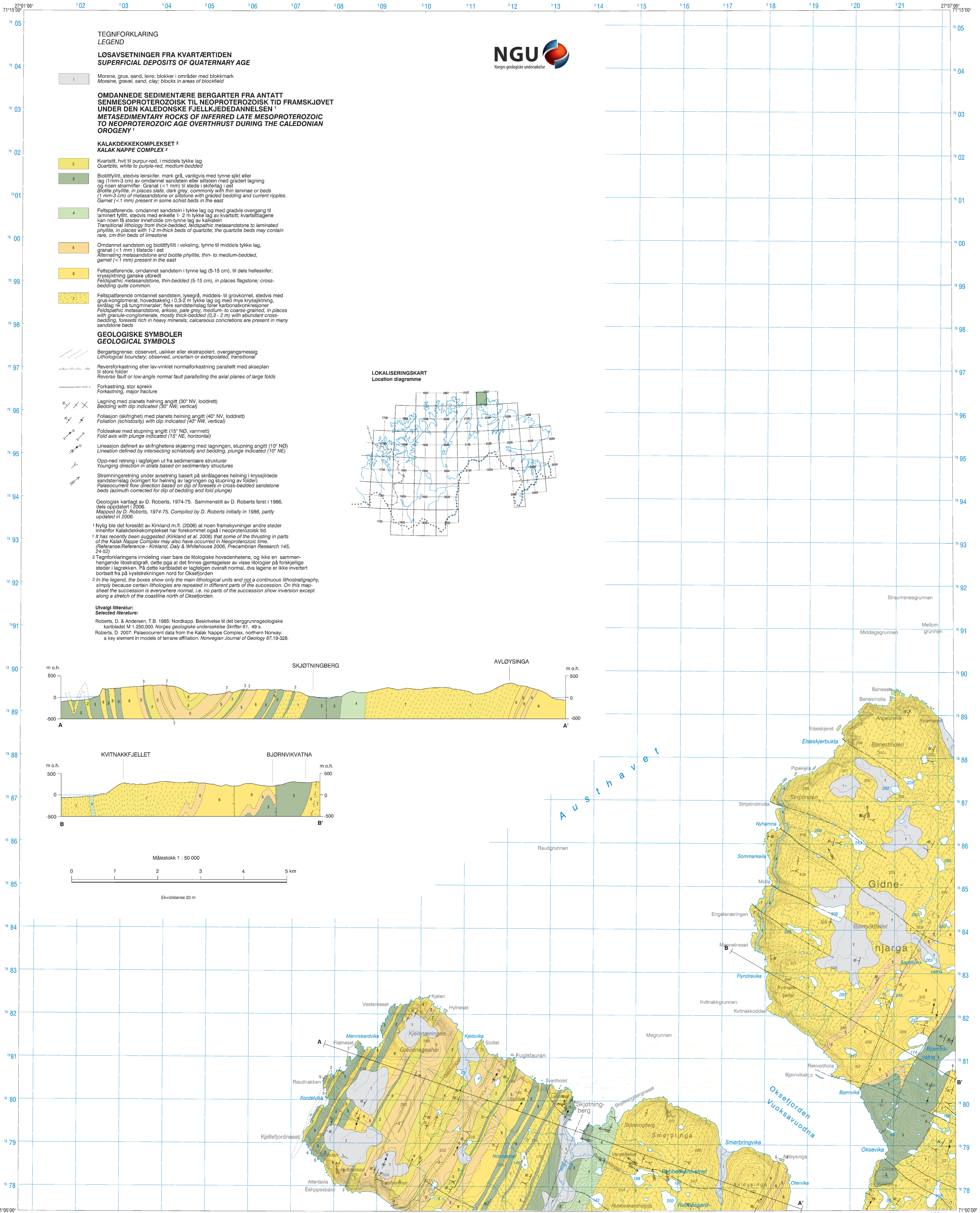


SKJØTNINGBERG

NORGES GEOLOGISKE UNDERSØKELSE

2237 III

BERGRUNNSKART - M 1:50 000



TEGNFORKLARING
LEGEND

LOSAVSETNINGER FRA KVARTÆRTIDEN
SUPERFICIAL DEPOSITS OF QUATERNARY AGE

- 1 Morene, grus, sand, leire; blokker i områder med blokkmark
Moraine, gravel, sand, clay; blocks in areas of blockfield

OMDANNEDE SEDIMENTÆRE BERGARTER FRA ANTATT SENMESOPROTEROZOISK TIL NEOPROTEROZOISK TID FRAMSKJØVET UNDER DEN KALEDONISKE FJELLKJEDEDANNELSEN
METASEDIMENTARY ROCKS OF INFERRED LATE MESOPROTEROZOIC TO NEOPROTEROZOIC AGE OVERTHRUST DURING THE CALEDONIAN OROGENY

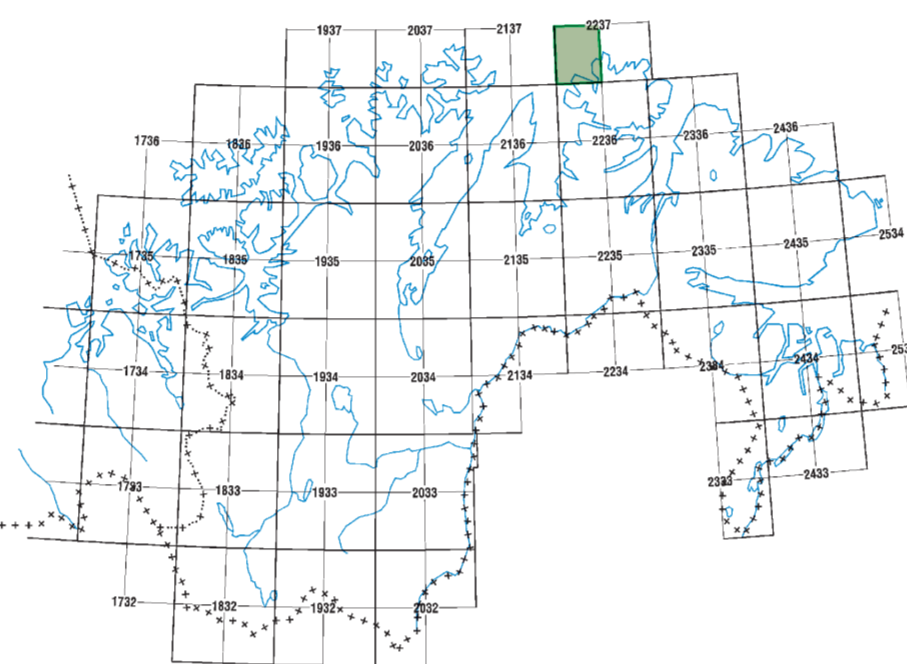
KALAKDEKKEKOMPLEKSET²
KALAK NAPPE COMPLEX²

- 2 Kvartsitt, hvitt til purpur-red, i middels tykke lag
Quartzite, white to purple-red, medium-bedded
- 3 Biotittyllitt, stedvis leirskifer, mørk grå, vanligvis med tynne sjikt eller lag (1 mm-3 cm) av omdannet sandstein eller siltstein med gradert lagning og noen strømfeller. Granat (<1 mm) til steder i skjifer og siltstein.
Biotite phyllite, in places siltstone, dark grey, commonly with thin laminae or beds (1 mm-3 cm) of metasandstone or siltstone with graded bedding and current ripples. Garnet (<1 mm) present in some schist beds in the east.
- 4 Følsappattende, omdannet sandstein i tykke lag og med gradvis overgang til laminert fylitt, stedvis med enkelte 1-2 m tykke lag av kvartsitt; kvartssiltlagene kan noen få steder inneholde cm-tynne lag av kalkstein.
Transitional lithology from thick-bedded, feldspathic metasandstone to laminated phyllite, in places with 1-2 m-thick beds of quartzite; the quartzite beds may contain rare, cm-thin beds of limestone.
- 5 Omdannet sandstein og biotittyllitt i vekslende, tynne til middels tykke lag, granat (<1 mm) tilstedeværende i øst.
Alternating metasandstone and biotite phyllite, thin- to medium-bedded, garnet (<1 mm) present in the east.
- 6 Følsappattende, omdannet sandstein i tynne lag (5-15 cm), til dels helleskifer; krysslagning ganske utbredt.
Feldspathic metasandstone, thin-bedded (5-15 cm), in places flagstone; cross-bedding quite common.
- 7 Følsappattende omdannet sandstein, lysegrå, middels- til grovkornet, stedvis med grus-konglomerat, hovedsakelig i 0,3-2 m tykke lag og med mye kryssligning. Skjellig rik på tungmineraler; flere sandsteinlag fører karbonatkonkresjoner.
Feldspathic metasandstone, arkose, pale grey, medium- to coarse-grained, in places with granite-conglomerate, mostly thick-bedded (0,3 - 2 m) with abundant cross-bedding, foresets rich in heavy minerals; calcareous concretions are present in many sandstone beds.

GEOLOGISKE SYMBOLER
GEOLOGICAL SYMBOLS

- Bergartsgrense; observert, usikker eller ekstrapolert, overgangsmessig
Lithological boundary; observed, uncertain or extrapolated, transitional
- Reversforkastning eller lav-vinklet normalforkastning parallellt med akseplan til store folder
Reverse fault or low-angle normal fault parallelling the axial planes of large folds
- Forkastning, stor sprekk
Faulting, major fracture
- Lagning med planets helling angitt (30° NV, loddrett)
Bedding with dip indicated (30° NW, vertical)
- Foliasjon (skjifrigheit) med planets helling angitt (40° NV, loddrett)
Foliation (schistosity) with dip indicated (40° NW, vertical)
- Foldeakse med stupning angitt (15° NO, vannrett)
Fold axis with plunge indicated (15° NE, horizontal)
- Lineasjon definert av skjifrigheits skjæring med lagningen, stupning angitt (10° NO)
Lineation defined by intersecting schistosity and bedding, plunge indicated (10° NE)
- Opp- ned retning i lagloven ut fra sedimentære strukturer
Younging direction in strata based on sedimentary structures
- Strømningsretning under avsetning basert på skrålagenes helling i krysslignede sandsteinlag (korrigert for helling av lagningen og stupning av folder)
Palaeocurrent flow direction based on dip of foresets in cross-bedded sandstone beds (azimuth corrected for dip of bedding and fold plunge)

LOKALISERINGSKART
Location diagramme



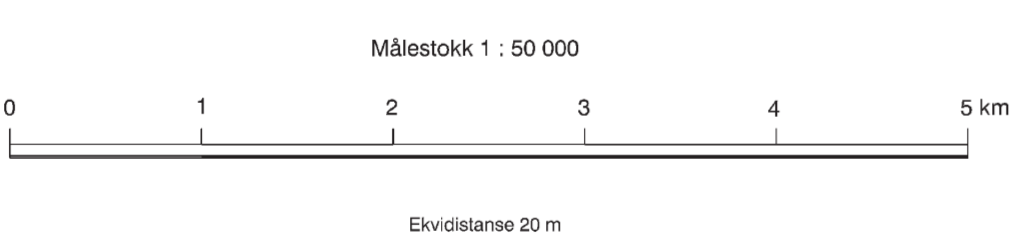
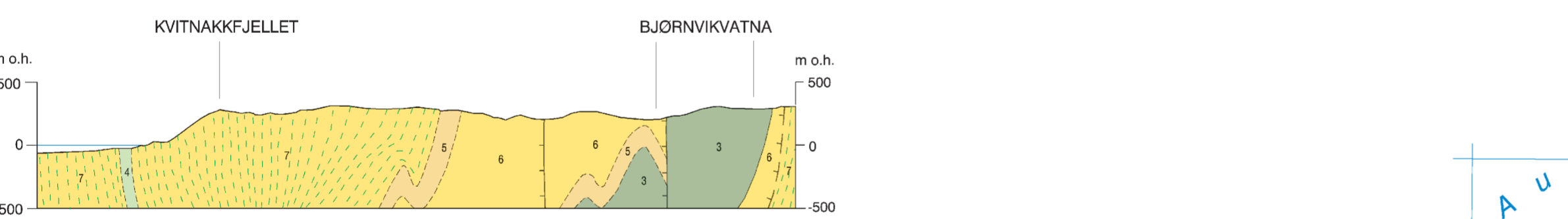
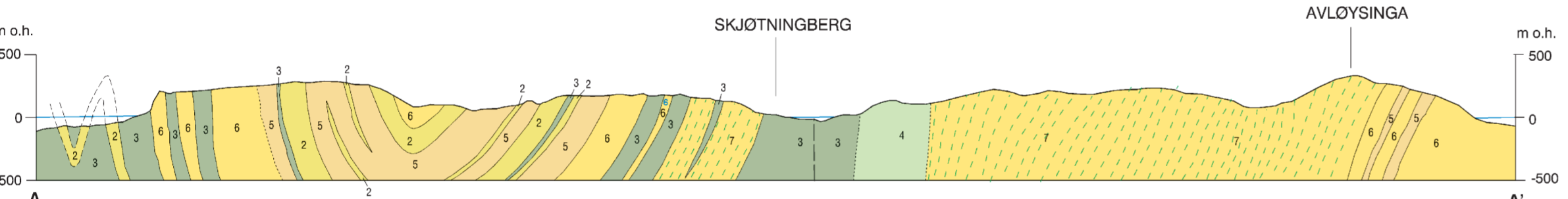
Geologisk kartlagt av D. Roberts, 1974-75. Sammenstilt av D. Roberts først i 1986, dels oppdatert i 2006.
Mapped by D. Roberts, 1974-75. Compiled by D. Roberts initially in 1986, partly updated in 2006.

1 Nylig ble det foreslått av Kirkland m.fl. (2006) at noen framskyvninger andre steder innenfor Kalakdekkekomplekset har forekommet også i neoproterozoisk tid.
It has recently been suggested (Kirkland et al. 2006) that some of the thrusting in parts of the Kalak Nappe Complex may also have occurred in Neoproterozoic time. (Reference/Reference - Kirkland, Day & Whitehouse 2006, Precambrian Research 145, 24-52)

2 Tegnforklaringens inndeling viser bare de litologiske hovedenheter, og ikke en sammenhengende litostratigrafi, dette pga at det finnes gjentagelser av visse litologier på forskjellige steder i lagrekken. På dette kartbladet er lagloven overalt normal, dvs lagene er ikke invertert bortsett fra på kyststrøkene nord for Oksefjorden.
2 In the legend, the boxes show only the main lithological units and not a continuous lithostratigraphy, simply because certain lithologies are repeated in different parts of the succession. On this map-sheet the succession is everywhere normal, i.e. no parts of the succession show inversion except along a stretch of the coastline north of Oksefjorden.

Utvalgt litteratur:
Selected literature:

- Roberts, D. & Andersen, T.B. 1985: Nordkapp. Beskrivelse til det berggrunnsgeologiske kartbladet M 1:250.000. Norges geologiske undersøkelse Skifter 51, 49 s.
- Roberts, D. 2007: Palaeocurrent data from the Kalak Nappe Complex, northern Norway: a key element in models of terrane affiliation. *Norwegian Journal of Geology* 87, 19-32B.



Referanse til dette kartet: Roberts, D. 2008. Berggrunnskart SKJØTNINGBERG 2237 III, M 1:50000, Norges geologiske undersøkelse